

深層混合処理システム－係船岸

商品概説書

株式会社 アライズソリューション

目 次

1. システムの概要	1
1-1 システムの概要	1
1-2 システムの特徴	1
1-3 システムの制限事項	2
2. 外力計算内容について	3
2-1 崩壊角の算定式	3
2-2 見掛けの震度の算定	4
2-3 土圧、水圧の算定式	5
2-4 側面付着力の算定	8
3. 外部安定計算	9
3-1 改良地盤系の滑動	9
3-2 改良地盤系の転倒	11
3-3 改良地盤系の地盤反力	12
3-4 原地盤の許容支持力	13
4. 内部安定計算	16
4-1 改良地盤の端趾圧	16
4-2 改良地盤のせん断応力度	16
4-3 抜け出しの検討	18

1. システムの概要

1-1 システムの概要

本システムは港湾基準、漁港基準に準拠して、『深層混合処理工法技術マニュアル／沿岸開発技術研究センター』を基に、重力式係船岸の基礎地盤改良による改良地盤の外部安定計算、及び、内部安定計算を行うシステムです。安定計算では以下の外力を考慮します。

常 時	鉛直力 V(kN/m)	水平力 H(kN /m)	鉛直力モーメント MR(kN·m/m)	水平力モーメント MA(kN·m/m)
土 圧	○	○	○	○
残留水圧	—	○	—	○
壁体重量	○	—	○	—
浮 力	○	—	○	—
その他外力	○	○	○	○
上載荷重	○	—	○	—
主働側側面付着力	○	—	○	—
受働側側面付着力	○	—	—	—

地震時	鉛直力 V(kN /m)	水平力 H(kN /m)	鉛直力モーメント MR(kN·m/m)	水平力モーメント MA(kN·m/m)
土 圧	○	○	○	○
残留水圧	—	○	—	○
壁体重量	○	○	○	○
浮 力	○	—	○	—
その他外力	○	○	○	○
上載荷重	○	○	○	○
動水圧	—	○	—	○
主働側側面付着力	○	—	○	—
受働側側面付着力	○	—	—	—

※その他の外力、動水圧の合力は『重力式係船岸安定計算システム』での計算値を使用します。

1-2 システムの特徴

本システムには以下のような特徴があります。

- ・設計基準は、港湾基準、漁港基準に準拠しています。
- ・本システムは『重力式係船岸安定計算システム2』の検討条件ファイルを基に動作します。
- ・本体工背面土の地表面形状を任意に設定できます。その場合、上載荷重を複数指定できます。
- ・裏込め土は、複数層の指定が可能です。
- ・改良地盤形状は、ブロック式、壁式に対応し、それぞれ着底型、浮き型の選択ができます。
- ・計算結果は、報告書形式で印刷されるため、そのまま報告書として利用できます。

〈準拠基準及び参考文献〉

- | | | |
|-------------------|--------------|--------------|
| ・港湾の施設の技術上の基準・同解説 | 平成 11 年 4 月 | 日本港湾協会 |
| ・漁港の技術指針 | 平成 11 年 11 月 | 全国漁港協会 |
| ・漁港構造物の設計ガイド | 平成 7 年 2 月 | 全国漁港協会 |
| ・深層混合処理工法技術マニュアル | 平成 11 年 4 月 | 沿岸開発技術研究センター |

1-3 システムの制限事項

データ数の制限

・壁体構成ブロック数	最大	20個
・その他外力数	最大	3つ
・任意形状ブロック構成点数	最大	100点
・任意地表面形状構成点数	最大	80点

改良地盤系形状の制限

- ・改良地盤の上面(マウンド底面)は、直線で水平とする。
- ・改良地盤の底面は、直線で水平とする。ブロック式で着底のみ傾斜が可能。
- ・改良地盤形状が壁式の場合、改良地盤内の土層は直線で水平とする。
- ・「重力式係船岸安定計算システム2」より読み込んだ本体工を移動、削除は不可。
- ・改良地盤の土質条件は、未改良土層と同一とする。
- ・改良地盤の背面土は粘性土とする。

2. 外力計算内容について

2-1 崩壊角の算定式

背面土(主働土圧層)が盛土形状となる場合、任意形状の盛土を上載荷重として扱う為、各土層の崩壊角を算定します。

－砂質土の場合－

$$[\text{常時}] \quad \cot(\zeta_i - \beta) = -\tan(\phi_i + \delta - \beta) + \sec(\phi_i + \delta - \beta) \sqrt{\frac{\cos \delta \cdot \sin(\phi_i + \delta)}{\cos \beta \cdot \sin(\phi_i - \beta)}}$$

$$[\text{地震時}] \quad \cot(\zeta_i - \beta) = -\tan(\phi_i + \delta - \beta) + \sec(\phi_i + \delta - \beta) \sqrt{\frac{\cos(\delta + \theta) \sin(\phi_i + \delta)}{\cos \beta \cdot \sin(\phi_i - \beta - \theta)}}$$

ϕ_i : i層の土の内部摩擦角(°)

β : 地表面が水平となす角(°)

δ : 壁面摩擦角(°)

ζ_i : i層の崩壊面が水平となす角(°)

θ : 地震合成角(°) $\theta = \tan^{-1} k$ 又は、 $\theta = \tan^{-1} k'$

k : 空中震度

k' : 見掛けの震度

－粘性土の場合－

[常時]

常時の粘性土は、崩壊角を求める式が基準書等に表記されていない為、入力値を使用

[地震時]

$$\zeta_a = \tan^{-1} \sqrt{1 - \left(\frac{\sum rh + 2w}{2c} \right) \tan \theta}$$

※ルートの中が負になる場合は、設計条件で入力した崩壊角を使用します。

γ : 土の単位体積重量(kN/m³)

h : 層の厚さ(m)

w : 水平単位面積当たりの載荷重(kN/m²)

c : 土の粘着力(kN/m²)

θ : 地震合成角(°) $\theta = \tan^{-1} k$ 又は、 $\theta = \tan^{-1} k'$

k : 空中震度

k' : 見掛けの震度

ζ_a : 崩壊面が水平となす角(°)

※土層の上限、下限の崩壊角の平均値をその土層の崩壊角とします。

2-2 見掛けの震度の算定

本プログラムでは、見かけの震度の計算方法を次の4つの中から選択します。直接入力以外を選択した場合は、各土層毎の土質定数を使用して見かけの震度を計算します。

[直接入力]

[標準式]

$$k' = \frac{\gamma_t}{(\gamma_t - 10)} \times k$$

k' : 水中における見かけの震度

k : 空気中における震度

γ_t : 水で飽和した土の空気中における単位体積重量 (kN/m³)

[二建の提案式]

$$k' = \frac{\sum \gamma h + \gamma_w h_w + w}{\sum \gamma h + w} \times k$$

k' : 水中における見かけの震度

k : 空気中における震度

γ : 土の単位体積重量 (kN/m³)

γ_w : 海水の単位体積重量 (kN/m³)

h : 土層の厚さ (m)

h_w : 土層の水につかっている深さ (m)

w : 単位面積当たりの載荷重 (kN/m²)

[荒井、横井の提案式]

$$k' = \frac{2(\sum \gamma h + \sum \gamma_t h_j + w) + \gamma_t h}{2\{\sum \gamma h_i + \sum (\gamma_t - 10)h_j + w\} + (\gamma_t - 10)h} \times k$$

h_i : 残留水位以上の土の層の厚さ (m)

h_j : 残留水位以下の土圧を求めるようとする層より上の層の厚さ (m)

h : 残留水位より下の土圧を求めるようとする層の厚さ (m)

γ : 水位面上の土の単位体積重量 (kN/m³)

γ_t : 水で飽和した土の空気中における単位体積重量 (kN/m³)

w : 単位面積当たりの載荷重 (kN/m²)

k : 震度

k' : 見かけの震度

2-3 土圧、水圧の算定式

主働土圧の算定式

－砂質土の場合－

[常時]

$$P_a = K_a \cdot \cos \delta \cdot \left[\sum \gamma h + \frac{w}{\cos \beta} \right]$$
$$K_a = \frac{\cos^2 \phi}{\cos \delta \cdot \left[1 + \sqrt{\frac{\sin(\phi + \delta) \cdot \sin(\phi - \beta)}{\cos \delta \cdot \cos \beta}} \right]^2}$$

[地震時]

$$P_a = K_a \cdot \cos \delta \cdot \left[\sum \gamma h + \frac{w}{\cos \beta} \right]$$
$$K_a = \frac{\cos^2(\phi - \theta)}{\cos \theta \cdot \cos(\delta + \theta) \cdot \left[1 + \sqrt{\frac{\sin(\phi + \delta) \cdot \sin(\phi - \beta - \theta)}{\cos(\delta + \theta) \cdot \cos \beta}} \right]^2}$$

P_a : 壁面に働く主働土圧強度(kN/m²)

ϕ : 土の内部摩擦角(°)

γ : 土の単位体積重量(kN/m³)

h : 土層の厚さ(m)

K_a : 土層の主働土圧係数

β : 地表面が水平となす角(°)

δ : 壁面摩擦角(°)

θ : 地震合成角(°) $\theta = \tan^{-1} k$ 又は、 $\theta = \tan^{-1} k'$

k : 震度

k' : 見掛けの震度

－粘性土の場合－

[常時]

$$P_{a1} = \sum \gamma h + w - 2c$$

$$P_{a2} = Kc(\sum \gamma h + w)$$

※二式を比較し、構造物に危険となる土圧分布を用います

[地震時]

$$P_{a1} = \frac{(\sum \gamma h + w) \cdot \sin(\zeta + \theta)}{\cos \theta \cdot \sin \zeta} - \frac{c}{\cos \zeta \cdot \sin \zeta}$$

$$\zeta = \tan^{-1} \sqrt{1 - \left(\frac{\sum \gamma h + 2w}{2c} \right) \cdot \tan \theta}$$

※ルート内が負の値になる場合は、設計条件で指定した崩壊角を使用します。他に常時の土圧を採用する事も出来ます。

$$P_{a2} = Kc(\sum \gamma h + w)$$

※二式を比較し、構造物に危険となる土圧分布を用います

P_a : 壁面に働く主働土圧強度 (kN/m²)

γ : 土の単位体積重量 (kN/m³)

h : 土層の厚さ (m)

w : 地表面単位面積当たり載荷重 (kN/m²)

c : 粘着力 (kN/m²)

K_c : 圧密平衡係数 $K_o = 0.5$

θ : 地震合成角 (°) $\theta = \tan^{-1} k$ 又は、 $\theta = \tan^{-1} k'$

k : 震度

k' : 見掛けの震度

ζ : 崩壊面が水平となす角 (°)

受働土圧算定式

－砂質土の場合－

[常時]

$$P_p = K_p \cdot \cos \delta \cdot \left[\sum \gamma h + \frac{w}{\cos \beta} \right]$$
$$K_p = \frac{\cos^2 \phi}{\cos \delta \cdot \left[1 - \sqrt{\frac{\sin(\phi - \delta) \cdot \sin(\phi + \beta)}{\cos \delta \cdot \cos \beta}} \right]^2}$$

[地震時]

$$P_p = K_p \cdot \cos \delta \cdot \left[\sum \gamma h + \frac{w}{\cos \beta} \right]$$
$$K_p = \frac{\cos^2(\phi - \theta)}{\cos \theta \cdot \cos(\delta - \theta) \cdot \left[1 - \sqrt{\frac{\sin(\phi - \delta) \cdot \sin(\phi + \beta - \theta)}{\cos(\delta - \theta) \cdot \cos \beta}} \right]^2}$$

P_p : 壁面に働く受働土圧強度(kN/m²)

ϕ : 土の内部摩擦角(°)

γ : 土の単位体積重量(kN/m³)

h : 土層の厚さ(m)

K_p : 土層の受働土圧係数

β : 地表面が水平となす角(°)

δ : 壁面摩擦角(°)

θ : 地震合成角(°) $\theta = \tan^{-1} k$ 又は、 $\theta = \tan^{-1} k'$

k : 震度

k' : 見掛けの震度

－粘性土の場合－

[常時]

$$P_p = \sum \gamma h + w + 2c$$

[地震時]

$$P_p = \sum \gamma h + w + 2c$$

P_p : 壁面に働く受働土圧強度 (kN/m^2)

γ : 土の単位体積重量 (kN/m^3)

h : 土層の厚さ (m)

w : 地表面単位面積当たり載荷重 (kN/m^2)

c : 粘着力 (kN/m^2)

K_c : 圧密平衡係数

残留水圧の算定

$0 \leq y < h_w$ のとき $P_w = \gamma_w \cdot y$

$h_w \leq y$ のとき $P_w = \gamma_w \cdot h_w$

P_w : 残留水圧 (kN/m^2)

h_w : 残留水位差 (m)

y : 残留水位から残留水圧を求める点までの深さ (m)

γ_w : 水の単位体積重量 (kN/m^3)

動水圧の算定

重力式係船岸システムで求めた外力を引き継ぎます。他に合力と作用位置の入力が出来ます。

2-4 側面付着力の算定

改良体の主働側及び受働側側面には付着力が作用する。

$$P_{AV} = 1/2 \cdot (c_i + c_j) \cdot A$$

$$P_{PV} = 1/2 \cdot (c_i + c_j) \cdot A$$

P_{AV} : 主働側側面に作用する鉛直付着力合力 (kN/m)

P_{PV} : 受働側側面に作用する鉛直付着力合力 (kN/m)

c_i : 改良土層上部粘着力 (kN/m^2)

c_j : 改良土層下部粘着力 (kN/m^2)

A : 作用面積 (m^2/m)

3. 外部安定計算

3-1 改良地盤系の滑動

ブロック式改良土の場合

$$F_S = \frac{P_P + F_R}{P_A + P_W + P_{dW} + \sum_i^i HK_i}$$

改良体底面が傾斜している場合

$$F_S = \frac{P_P + F_R}{P_A + P_W + P_{dW} + \sum_i^i HK_i + \Sigma V \cdot \cos\theta \cdot \cos\theta}$$

—着底型の場合—

$$F_{R1} = \Sigma V \cdot \mu = \left(\sum_i^i Wi + P_V + P_{AV} - P_{PV} \right) \cdot \mu$$

$$F_{R2} = \tau_a \cdot B$$

$$\tau_a = \frac{1}{2} \sigma_{ca}$$

$$F_{R1} = \Sigma V \cdot \mu \cdot \cos\theta \cdot \cos\theta$$

$$F_{R2} = \tau_a \cdot B$$

$$\tau_a = \frac{1}{2} \sigma_{ca}$$

※二式のせん断抵抗力の内、小さい方を改良体底面に作用するせん断抵抗力とする

—浮き型の場合—

底面下が粘性土の場合

$$F_R = c \cdot B$$

F_S : 滑動安全率

P_P : 受働土圧の合力(kN/m)

F_R : 改良地盤底面に作用するせん断抵抗力(kN/m)

P_A : 主働土圧の水平成分(kN/m)

P_{AV} : 主働側側面に作用する鉛直付着力合力(kN/m)

P_{PV} : 受働側側面に作用する鉛直付着力合力(kN/m)

P_W : 残留水圧の合力(kN/m)

P_{dW} : 動水圧の合力(kN/m)

ΣHK_i : 地震時慣性力の合力(kN/m)

ΣW_i : 有効重量の合力(kN/m)

P_V : 主働土圧の鉛直成分(kN/m)

μ : 摩擦係数(支持層が砂地盤の場合 $\mu = \tan\phi$ 、岩盤の場合 $\mu = 0.6$)

ϕ : 底面下砂質土の内部摩擦角(°)

τ_a : 改良体の許容せん断応力度(kN/m²)

B : 改良幅(m)

δ_{ca} : 許容圧縮応力度(kN/m²)

C : 底面下粘性土の粘着力(kN/m²)

壁式改良土の場合

$$F_S = \frac{P_P + F_R + F_u}{P_A + P_W + P_{dW} + \sum_i^i HK_i}$$

$$F_{R1} = \left(\sum_i^i W_i + P_V + P_{AV} - P_{PV} \right) \cdot \mu$$

$$F_{R2} = \tau_a \cdot B \cdot R_l$$

$$\tau_a = \frac{1}{2} \sigma_{ca}$$

$$F_{u1} = W_u \cdot \mu$$

$$F_{u2} = c \cdot B \cdot R_s$$

※二式のせん断抵抗力の内、小さい方を改良体底面に作用するせん断抵抗力とする

※二式の滑動抵抗力の内、小さい方を無改良土による滑動抵抗力とする

F_S : 滑動安全率

P_P : 受働土圧の合力(kN/m)

F_R : 改良地盤底面に作用するせん断抵抗力(kN/m)

F_u : 無改良土による滑動抵抗力(kN/m)

P_A : 主働土圧の水平成分(kN/m)

P_{AV} : 主働側側面に作用する鉛直付着力合力(kN/m)

P_{PV} : 受働側側面に作用する鉛直付着力合力(kN/m)

P_W : 残留水圧の合力(kN/m)

P_{dW} : 動水圧の合力(kN/m)

$\sum HK_i$: 地震時慣性力の合力(kN/m)

$\sum W_i$: 有効重量の合力(kN/m)、長壁間の未処理土の有効重量 W_u は考慮しない

P_V : 主働土圧の鉛直成分(kN/m)

μ : 摩擦係数(支持層が砂地盤の場合 $\mu = \tan \phi$ 、岩盤の場合 $\mu = 0.6$)

ϕ : 底面下砂質土の内部摩擦角(°)

τ_a : 改良体の許容せん断応力度(kN/m²)

B : 改良幅(m)

δ_{ca} : 許容圧縮応力度(kN/m²)

W_u : 改良壁間無改良土の有効重量(kN/m)

R_L : 長壁の割合

R_s : 短壁の割合

C : 壁間無改良土下端部における粘着力(kN/m²)

3-2 改良地盤系の転倒

ブロック式改良土の場合

$$F_S = \frac{\sum M_R}{\sum M_A} = \frac{\sum_{i=1}^i W_i \cdot x_i + P_V \cdot x_V + P_{AV} \cdot x_{AV} + P_P \cdot y_P}{P_W \cdot y_W + P_{dW} \cdot y_{dW} + P_A \cdot y_A + \sum_{i=1}^i HK_i \cdot y_i}$$

F_S	: 転倒安全率
$\sum M_R$: 抵抗モーメント(kN·m/m)
$\sum M_A$: 転倒モーメント(kN·m/m)
$\sum W_i \cdot x_i$: 有効重量によるモーメント(kN·m/m)
$P_V \cdot x_V$: 主働土圧の鉛直成分によるモーメント(kN·m/m)
$P_{AV} \cdot x_{AV}$: 主働側側面に作用する鉛直付着力によるモーメント(kN·m/m)
$P_P \cdot y_P$: 受働土圧によるモーメント(kN·m/m)
$P_W \cdot y_W$: 残留水圧によるモーメント(kN·m/m)
$P_{dW} \cdot y_{dW}$: 動水圧によるモーメント(kN·m/m)
$P_A \cdot y_A$: 主働土圧によるモーメント(kN·m/m)
$\sum HK_i \cdot y_i$: 地震時慣性力によるモーメント(kN·m/m)

壁式改良土の場合

$$F_S = \frac{\sum M_R}{\sum M_A} = \frac{\sum_{i=1}^i W_i \cdot x_i + P_V \cdot x_V + P_{AV} \cdot x_{AV} + P_P \cdot y_P}{P_W \cdot y_W + P_{dW} \cdot y_{dW} + P_A \cdot y_A + \sum_{i=1}^i HK_i \cdot y_i}$$

F_S	: 転倒安全率
$\sum M_R$: 抵抗モーメント(kN·m/m)
$\sum M_A$: 転倒モーメント(地震時の慣性力として、無改良土の転倒モーメントを考慮する)(kN·m/m)
$\sum W_i \cdot x_i$: 有効重量によるモーメント(長壁間の未処理土を含む)(kN·m/m)
$P_V \cdot x_V$: 主働土圧の鉛直成分によるモーメント(kN·m/m)
$P_{AV} \cdot x_{AV}$: 主働側側面に作用する鉛直付着力によるモーメント(kN·m/m)
$P_P \cdot y_P$: 受働土圧によるモーメント(kN·m/m)
$P_W \cdot y_W$: 残留水圧によるモーメント(kN·m/m)
$P_{dW} \cdot y_{dW}$: 動水圧によるモーメント(kN·m/m)
$P_A \cdot y_A$: 主働土圧によるモーメント(kN·m/m)
$\sum HK_i \cdot y_i$: 地震時慣性力によるモーメント(kN·m/m)

3-3 改良地盤系の地盤反力

$$X = \frac{M'}{W'} = \frac{\sum M_R - \sum M_A - \sum^i H K_i \cdot y_i}{\sum^i W_i + P_V + P_{AV} - P_{PV}}$$

$$e = \frac{B}{2} - X$$

$$e \leq \frac{B}{6} \text{ の場合}$$

ブロック式

$$t_1 = \frac{W'}{B} \left(1 + \frac{6 \cdot e}{B} \right)$$

$$t_2 = \frac{W'}{B} \left(1 - \frac{6 \cdot e}{B} \right)$$

$$B_D = B$$

$$e > \frac{B}{6} \text{ の場合}$$

$$t_1 = \frac{2 \cdot W'}{3 \cdot X}$$

$$t_2 = 0$$

$$B_D = 3 \cdot X$$

壁式

$$t_1 = \frac{W'}{B \cdot R_l} \left(1 + \frac{6 \cdot e}{B} \right)$$

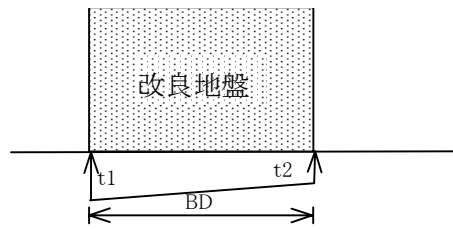
$$t_2 = \frac{W'}{B \cdot R_l} \left(1 - \frac{6 \cdot e}{B} \right)$$

$$B_D = B$$

$$t_1 = \frac{2 \cdot W'}{3 \cdot X \cdot R_l}$$

$$t_2 = 0$$

$$B_D = 3 \cdot X$$



ΣM_R : 抵抗モーメント(kN·m/m)

ΣM_A : 転倒モーメント(kN·m/m)

ΣW_i : 有効重量の合力(kN/m)

P_V : 主働土圧の鉛直成分(kN/m)

P_{AV} : 主働側側面に作用する鉛直付着力合力(kN/m)

P_{PV} : 受働側側面に作用する鉛直付着力合力(kN/m)

X : 合力の作用高さ(m)

e : 偏心量(m)

B : 改良幅(m)

t_1 : 地盤反力(kN/m²)

t_2 : 地盤反力(kN/m²)

B_D : 地盤反力分布幅(m)

R_L : 長壁の割合

3-4 原地盤の許容支持力

ブロック式改良の場合

－砂質土地盤の場合－

$$q_a = \frac{1}{F_S} (\beta \cdot \gamma_1 \cdot B \cdot N_r + \gamma_2 \cdot D \cdot N_q) + \gamma_2 D$$

－粘性土地盤の場合－

$$\frac{kB}{Co} \leqq 4 \text{ の時}$$

$$q_a = \frac{1}{F_S} (1.018 \cdot k \cdot B + 5.14 \cdot Co) + \gamma_2 \cdot D$$

q_a : 許容支持力(水中部分の浮力を考慮した値)(kN/m²)

F_S : 安全率

β : 改良体の形状係数(0.5)

γ_1 : 改良体底面から下の土の単位体積重量(有効)(kN/m³)

γ_2 : 改良体底面から上の土の単位体積重量(有効)(kN/m³)

B : 地盤反力の分布幅(m)

D : 改良体の根入れ深さ(m)

N_r, N_q : 支持力係数

C_o : 改良体底面における土の粘着力(kN/m²)

k : 地盤の粘着力増加係数

壁式改良の場合

－砂質土地盤の場合－

$$t_a = q_{aq} + q_{ar1} \quad \frac{1}{\eta} \geq 3 \text{ の場合}$$

$$t_a = q_{aq} + q_{ar} \quad 1 \leq \frac{1}{\eta} < 3 \text{ の場合}$$

$$q_{aq} = \frac{p_o \cdot N_q}{F_S} + P_o$$

$$q_{aq1} = \frac{0.5 \cdot r' \cdot L_1 \cdot N_r}{F_S}$$

$$q_{aq2} = \frac{0.5 \cdot r' \cdot B \cdot N_r}{F_S}$$

$$q_{ar} = q_{ar1} + 0.5(q_{ar2} - q_{ar1}) \left(3 - \frac{1}{\eta} \right)$$

N_r N_q : 支持力係数

P_o : 支持砂層の有効土かぶり圧 (kN/m²)

γ' : 支持砂層の単位体積重量(有効) (kN/m³)

F_S : 安全率

η : 長壁の割合

L_1 : 長壁の厚さ(m)

B : 改良幅(m)

－粘性土地盤の場合－

ブロック式改良地盤に準ずる。

偏心傾斜荷重の検討

－砂質土地盤の場合－

$$qv = \frac{\gamma B}{2} N$$

$$F = \frac{qv}{V/B}$$

qv	:限界支持力
B	:改良幅(m)
γ	:土の単位体積重量(水中重量)
N	:支持力係数
e	:荷重合力の偏心量(m)
ε	:荷重の偏心量
$\tan \theta$:水平成分に対する鉛直分力の比
V	$\tan \theta = H/V$
H	:荷重の鉛直分力(kN)
F	:荷重の水平分力(kN)
	:安全率(1.0以上とする)

－粘性土地盤の場合－

$$\tan \theta \leq 0.25 \text{ の場合} \quad Nc = a + b$$

$$\tan \theta > 0.25 \text{ の場合} \quad Nc = \frac{1 - \varepsilon}{\tan \theta}$$

$$qa = Nc \frac{C_0}{F} + \gamma_2 D$$

qa	:許容支持力(kN/m ²)
Nc	:支持力係数
C_0	:改良体底面における土の粘着力(kN/m ²)
F	:安全率
γ_2	:改良体底面より上の土の単位体積重量(水中重量)(kN/m ³)
D	:改良深さ
a, b	:係数
ε	:荷重の偏心度
$\varepsilon = 2e/B$	
$\tan \theta$:鉛直分力に対する水平分力の比
$\tan \theta = H/V$	
V	:荷重の鉛直分力(kN)
H	:荷重の水平分力(kN)

4. 内部安定計算

4-1 改良地盤の端趾圧

「改良地盤系の地盤反力」で算定した地盤反力 t_1, t_2 を用いる
なお、改良体端部における側壁拘束圧 p_1, p_2 を考慮する

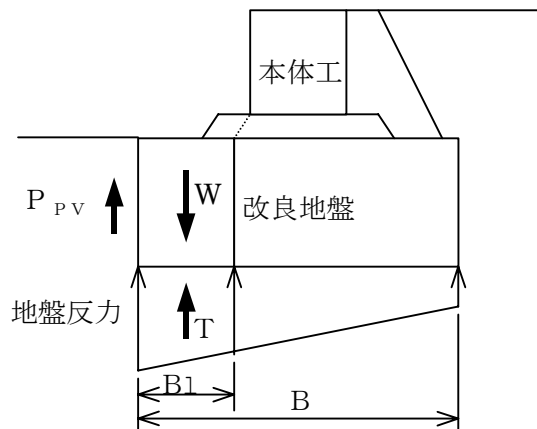
$$t_1 - p_1 \leq \sigma_{ca} (\text{kN/m}^2)$$

$$t_2 - p_2 \leq \sigma_{ca} (\text{kN/m}^2)$$

4-2 改良地盤のせん断応力度

ブロック式改良土の場合

$$\tau = \frac{T + P_{PV} - W}{A}$$



τ : せん断応力度 (kN/m^2)

T : 改良地盤前趾より B の点までの地盤反力の合力 (kN/m)

P_{PV} : 受働側側面に作用する鉛直付着力合力 (kN/m)

W : B_1 間の有効重量 (kN/m)

A : 本体工法直下の改良地盤の断面積 (m^2)

B_1 : 改良地盤前趾より本体工法直下の水平距離 (マウンドによる荷重分散を考慮) (m)

壁式改良土の場合

長壁について

$$\tau_l = \frac{T + P_{PV} - W}{A}$$

τ_l : 長壁のせん断応力度 (kN/m^2)

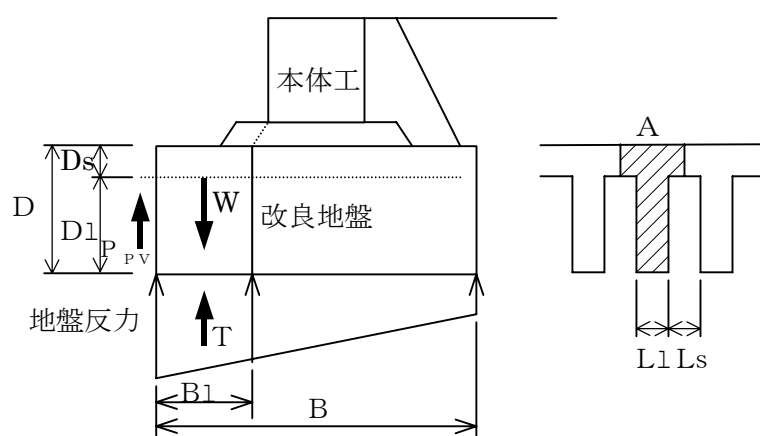
T : 改良地盤前趾より B の点までの長壁に働く地盤反力の合力 (kN/m)

P_{PV} : 受働側側面に作用する鉛直付着力合力 (kN/m)

W : B 間の有効重量 (無改良土の重量を除く) (kN/m)

A : 本体工法直下の改良地盤の断面積 (m^2)

B_1 : 改良地盤前趾より本体工法直下の水平距離 (マウンドによる荷重分散を考慮) (m)



短壁について

$$\tau_s = \frac{(T'_l + \gamma'_m \cdot h_m + \gamma_d \cdot D_s) \cdot L_s}{2D_s}$$

τ_s : 短壁の最大せん断応力度 (kN/m²)

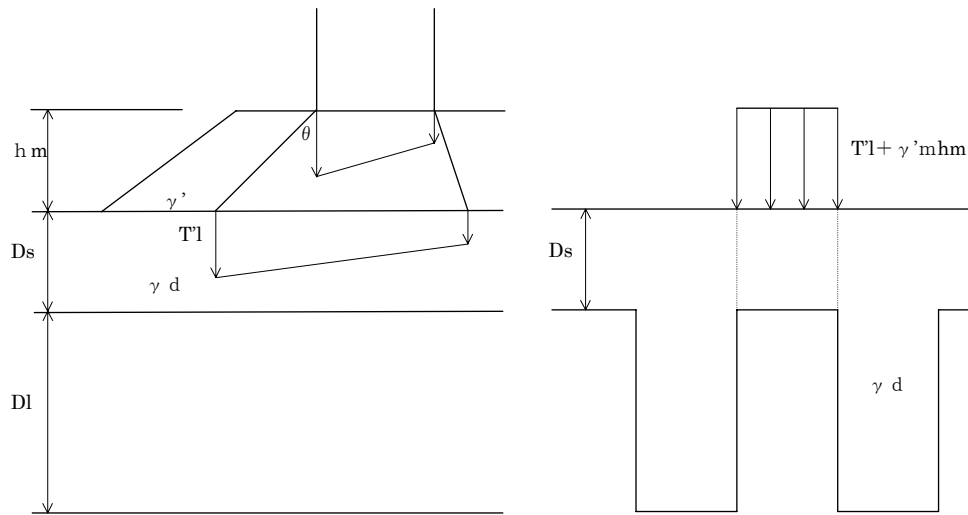
T'_l : マウンドによる分散後の端し压 (マウンドの自重は含まない) (kN/m²)

γ'_m : マウンドの単位体積重量 (kN/m³)

h_m : マウンド厚 (m)

γ_d : 改良地盤の単位体積重量 (kN/m³)

θ : マウンドによる荷重分散角 (°)



4-3 抜け出しの検討

$$F_S = \frac{P'_{ST} + P'_{PT}}{P'_{AT}}$$

P'_{ST} : 検討面のせん断抵抗力(kN)

$$P'_{ST} = ((\text{上限C} + \text{下限C}) \cdot L_s + \text{平均C} \cdot 2D_i) \cdot B$$

P'_{AT} : D_i , L_s に作用する主働土圧合力(残留水压、地震時慣性力を含む)(kN)

P'_{PT} : D_i , L_s に作用する受働土圧合力(kN)

B : 改良幅(m)

L_s : 短壁の法線方向長さ(m)

D_i : 短壁下端より検討面(任意の面)までの距離(m)

